ФИЗИЧЕСКАЯ ХИМИЯ

В. Г. ФЕДОТОВ, А. М. ЧАЙКИН

ИССЛЕДОВАНИЕ «ХОЛОДНОГО» ПЛАМЕНИ РЕАКЦИИ ФТОРА С ВОДОРОДОМ В ПОТОКЕ

(Представлено академиком В. Н. Кондратьевым 21 VII 1971)

Авторами работ (1-6) были открыты первый и второй пределы самовоспламенения в реакции фтора с водородом и получены доказательства разветвленно-цепного механизма этой реакции. Было показано, что разветвление ценей осуществляется в реакции $H_2^* + F_2 \rightarrow H + HF + F$, где ${\rm H_2}^*$ — молекула водорода, возбужденная колебательно при почти резонансном обмене энергией в процессе $HF^* + H_2 \rightarrow HF + H_2^*$. При изучении пределов самовоспламенения смесей фтора с дейтерием авторы работы $\binom{7}{1}$ пришли к выводу, что в реакции разветвления $D_2^* + F_2 \rightarrow D + DF + F$ молекула D_2^* должна быть возбуждена до колебательного уровня $v \geqslant 2$. Целью настоящей работы было установить, какой колебательный уровень молекулы водорода (первый или более высокий) ответствен за разветвление цепей, т. е. выяснить вопрос о линейности разветвления. Пля этой цели были найдены условия получения холодного пламени смеси фтора с водородом и получены кинетические характеристики развития пламени. В связи с этим представляло интерес исследовать пламя методом оптической спектроскопии, а также э.п.р.

Пламя получали при смешении потоков фтора и водорода, разбавленных аргоном. Вакуумная струевая установка обеспечивала получение смесей заданного состава в струе и высокую стабильность параметров потока. Реакция проводилась в стеклянной или кварцевой трубке диаметром 5—10 мм и длиной ~ 1 м. При определенных соотношениях между концентрациями фтора и водорода в трубке возникало устойчивое видимое в темноте оранжевое свечение. Изменяя скорость струи (0.5-10 м/сек), давление (1-10 тор) и соотношение между F_2 и H_2 , можно было получать пламя различной протяженности на разных расстояниях от смесителя. Холодным это пламя мы называем потому, что поступательная температура в пламени превышала окружающую не более чем на $100-200^{\circ}$ С. Обычно же эта разность температур составляла несколько градусов. Все опыты проводились при комнатной температуре.

Спектр пламени был сфотографирован на пленку с помощью спектрографа ИСП-51. Съемка производилась с торца трубки вдоль оси. Получить фотографию спектра при съемке в направлении, перпендикулярном оси трубки, нам пе удалось из-за малой интенсивности свечения. Из анализа спектрограммы следует, что свечение пламени в видимой области спектра происходит лишь в результате многоквантовых колебательно-вращательных переходов молекул HF^* . Ниже приведены наблюдавшиеся переходы, относительные интенсивности кантов полос $I_{v \to v'}$ и относительные вероятности излучения $P_{v \to v'}$, рассчитанные по формуле Хипса и Герцберга (8):

Переход
$$v-v'$$
 4—0 5—1 6—1 7—2 8—3 9—4 $I_{v-v'}$ >20 >20 1 1 1,2 1 $P_{v-v'}$ — 1 3 7 13,5

Относительные заселенности уровней $N_v = I_{v \to v'}/P_{v \to v'}$ подчиняются распределению Больцмана с колебательной температурой $T_{\kappa} = 4400 \pm 150^{\circ}$ К.

Спектр яркого свечения, которое наблюдается во вспышках при смешивании слабо разбавленных или неразбавленных фтора и водорода, кроме колебательно-вращательных полос содержит весьма интенсивный желтый

дублет атомов Na. Это, очевидно, связано с выходом соединений натрия из стекла в газовую фазу при высоких температурах во вспышках.

Так как свечение в реакции обусловлено лишь наличием в пламени возбужденных частиц НГ *, фотометрирование пламени позволяет получить кинетические кривые развития реакции $I \sim [HF^*] = f(x(t)),$

x — расстояние до точки смешивания струй фтора и водорода. Данные фотометрирования представлены на рис. 1 в виде зависимости $\lg I$ от x(t). Видно, что концентрация активных центров [НF*] является экспоненциальной функцией времени, т. е. следует закону разветвленноцепных реакций с линейным разветвлени-

Более надежный вывод о линейности разветвления можно сделать по виду зависимости периода индукции реакции от концентрации активных центров, создаваемых специально каким-либо способом перед смешиванием реагентов. Большая

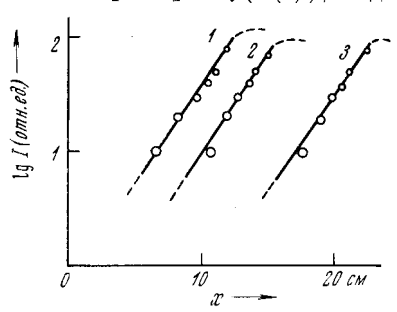


Рис. 1. Интенсивность свечения пламени на разных расстояниях от смесителя. $I-T_{\rm H}=517^{\circ}\,{\rm K};$ $2-T_{\rm H}=458^{\circ}\,{\rm K};$ $3-T_{\rm H}=295^{\circ}\,{\rm K}$

надежность такого метода заключается в том, что можно использовать данные, относящиеся к ранней стадии реакции, когда влияние образующихся продуктов, повышения температуры и обратной диффузии активных центров на ход реакции может быть пренебрежимо малым.

Кинетические уравнения для случаев линейного и квадратичного разветвления в одноцентровом приближении имеют вид:

$$dn/dt = w_0 + \varphi n, \tag{1}$$

$$dn/dt = w_0 + \varphi n + bn^2, \tag{2}$$

где n — концентрация активных центров, w_0 — скорость их зарождения, ϕ и b — эффективные константы скорости линейного и квадратичного разветвления.

Решения уравнений (1) и (2) при начальном условии $n|_{x=0} = n(0)$ дают связь между периодом индукции x_{τ} и n(0) (периодом индукции будем называть расстояние от точки смешивания реагентов, необходимое для того, чтобы n(x) достигло некоторой заданной величины A):

$$x_{\tau} = \frac{u}{\varphi} \left(\ln A - \ln \left[\frac{w_0}{\varphi} + n(0) \right] \right), \tag{1a}$$

$$x_{\tau} = \frac{u}{\varphi} \left(\ln A - \ln \left[\frac{w_0}{\varphi} + n(0) \right] \right), \tag{1a}$$

$$x_{\tau} = \frac{u}{(w_0 b - \varphi^2/4)^{1/2}} \left[\operatorname{arc} \operatorname{tg} \frac{A + \varphi/2b}{(w_0/b - \varphi^2/4b)^{1/2}} - \operatorname{arc} \operatorname{tg} \frac{n(0) + \varphi/2b}{(w_0/b - \varphi^2/4b)^{1/2}} \right], \tag{2a}$$

где u — скорость потока.

При $A>n(0),\; n(0)\gg w_{\scriptscriptstyle 0}/\phi$ и $\left[n(0)+\phi/2b\right]/\overline{\sqrt{w_{\scriptscriptstyle 0}/b-\phi^{\scriptscriptstyle 2}/4b}}<1$ (эти условия достигаются в эксперименте выбором соответствующих значений A н n(0)) (1a) и (2a) можно записать в виде:

$$x_{\tau} = \frac{u}{\Psi} \left[C - \ln n \left(0 \right) \right], \tag{16}$$

$$x_{\tau} = a - Cn(0). \tag{25}$$

В наших опытах начальная концентрация активных центров создавалась путем нагревания трубки, подводящей фтор к смесителю, вследствие чего за счет диссоциации фтор обогащался атомами. Очевидно, что в первом приближении $n(0)=n_0e^{-E/RT}_{\rm H}$, где $T_{\rm H}$ — температура нагреваемой части трубки. Тогда в случае линейного разветвления

$$x_{\tau} \sim 1/T_{\text{H}},\tag{1B}$$

а в случае квадратичного разветвления

$$dx_{\tau}/d(1/T_{\rm H}) \sim x_{\tau}. \tag{2b}$$

На рис. 2 показана хорошая выполнимость зависимости (1в) для реакции фтора с водородом. Три прямых линии относятся к трем сериям опытов, выполненных с использованием стеклянной (1 и 2) и кварцевой (3) трубок. Наклоны прямых определяются величинами ф и энергии активации реакции образования атомов фтора. Энергия активации для стеклянной

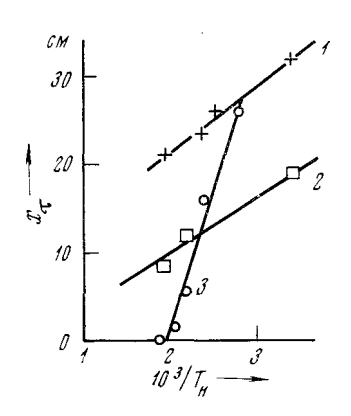
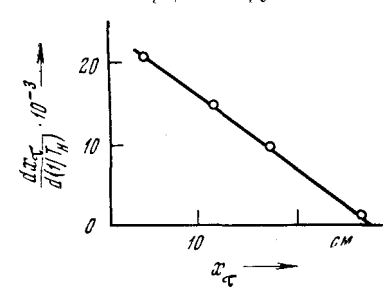


Рис. 2. Зависимость периода индукции реакции фтора с водородом от температуры в потоке фтора. 1 и 2—стеклянная трубка, 3—кварцевая трубка



Рпс. 3. Линейность зависимости между периодом индукции и его производной по $1/T_{\rm H}$ (см. формулу (2в)) для реакции фтора с дейтерием

трубки оказалась 5.5 ± 1.5 ккал/моль, а для кварцевой 10 ± 4 ккал/моль. Низкая величина эпергии активации (много меньшая, чем энергия связи в молекуле фтора) и различия в пей для трубок из разных материалов говорят о явно гетерогенном процессе образования атомов фтора.

Аналогичным образом была исследована зависимость периода пидукции от начального условия для реакции фтора с дейтерием (здесь кинетические кривые получались при пепосредственном фотометрировании пламени с помощью фотоумножителя). Линейность зависимости $dx_{\tau}/d(1/T_{\rm H})$ от x_{τ} (рис. 3) указывает на существенную роль квадратичного разветвления в этой реакции.

Для исследования пламени э.п.р. создавались условия возникновения пламени непосредственно в резонаторе спектрометра. С появлением пламени наблюдался сигнал э.п.р. атомов При давлении 5,4 тор, соотношении реагентов $[Ar]: [H_2]: [F_2]: [O_2] = 100: 50:$: 6: 0,06 и суммарном расходе 1,2 л · тор / сек величина сигнала соответствовала концентрации атомов водорода $\sim 0.1\%$ от исходной концентрации Н₂. Температура в пламени при этом достигала всего 75° С. При увеличении копцептрации фтора в струе появлялся сигнал и от атомов фтора, однако при этом температура в зоне реакции повышалась пастолько, что было трудно сделать количественную оценку концентрации атомов.

О наличии высокой концентрации атомов H(D) в реакции F_2 с $H_2(D_2)$ указывалось в работе (9), в которой авторы пришли к такому заключению при исследовании замороженных в резонаторе спектрометра продуктов реакции, в частности $HO_2(DO_2)$.

Институт химической физики Академии наук СССР Москва

Поступило 3 VI 1971

ЦИТИРОВАННАЯ ЛИТЕРАТУРА

¹ Г. А. Капралова, Кандидатская диссертация, ИХФ АН СССР, 1963. ² Г. А. Капралова, Е. М. Трофимова и др., Кинетика и катализ, 4, 653 (1963). ³ Г. А. Капралова, Е. М. Трофимова, А. Е. Шилов, Кинетика и катализ, 6, 977 (1965). ⁴ Г. А. Капралова, Е. М. Марголина, А. М. Чайкин, Кинетика и катализ, 10, 32 (1969). ⁵ Г. А. Капралова, А. М. Чайкин, Кинетика и катализ, 10, 245 (1969). ⁶ Г. А. Капралова, Е. М. Марголина, А. М. Чайкип. ДАН. 198, 140 (1971). ⁷ В. И. Веденеев, В. П. Пропой, О. М. Саркисов, Кинетика и катализ, 11, 36 (1970). ⁸ Н. S. Неаря, С. Негвегд, Zr. Phys., 133, 48 (1952). ⁹ В. И. Веденеев, Ю. М. Гершензон и др., Изв. АН СССР, сер. хим... 1970, 1438.